



UNIVERSIDAD LABORAL DE ALCALÁ DE HENARES

ESCUELA UNIVERSITARIA DE

INGENIERÍA TÉCNICA DE TELECOMUNICACIÓN

Especialidad: EQUIPOS ELECTRÓNICOS

1972-1975

SISTEMAS REALIMENTADOS DE CONTROL

**SERVOSISTEMAS LINEALES. MÉTODO DE
EVANS**

INTRODUCCION--

El problema fundamental de los servosistemas lineales se puede resumir así:

Dados las funciones de transferencia de la cadena abierta $G(s)$ y $H(s)$, determinar la función de transferencia en cadena cerrada $C(s)/R(s)$ que permita evaluar las características de funcionamiento del sistema completo.

De la misma manera, en el proceso de proyecto, el problema se puede enunciar así:

Dada la función de transferencia en cadena cerrada deseada, determinar la correspondiente función de transferencia en cadena abierta del sistema.

En cualquier caso, es interesante estudiar las relaciones entre las funciones de transferencia en cadena abierta y en cadena cerrada de un servosistema dado.

Como ejemplo, consideremos que la función de transferencia en cadena abierta de un servosistema con retroceso unitario sea

$$G(s) = \frac{K}{s(s+a)} \quad K \text{ y } a = \text{constante} \quad (1)$$

La función de transferencia en cadena cerrada, será

$$\frac{C(s)}{R(s)} = \frac{G(s)}{1+G(s)} = \frac{\frac{K}{s(s+a)}}{1 + \frac{K}{s(s+a)}} = \frac{K}{s^2 + as + K} \quad (2)$$

Es evidente que el sistema será inestable si a o K o los dos son negativos. La determinación de los valores de a y K de manera que el sistema total sea óptimo con respecto a algún criterio de funcionamiento constituye un sencillo ejemplo de diseño.

(2) Puesto que el comportamiento dinámico del sistema depende de los rangos de la ecuación característica, es interesante estudiar la variación de dichos rangos en función de a y K .

Para simplificar el problema supongamos que $a=2$ y K puede tomar valores de $-\infty$ a $+\infty$. Entonces, tenemos:

$$s^2 + as + K = s^2 + 2s + K = 0 \quad (3)$$

de donde

$$s_{1,2} = -1 \pm \sqrt{1-K}$$

Situación de los rangos según el valor K :

- (1) $-\infty < K < 0$: los dos rangos son reales.
- (2) $K=0$: $s_1=0$, $s_2=-2$
- (3) $0 < K < 1$: los dos rangos son números reales negativos.
- (4) $K=1$: Rango doble $s_1=s_2=-1$
- (5) $1 < K < \infty$: los dos rangos son complejos conjugados.

En la figura 1 se da el lugar de los dos rangos cuando K varía entre $-\infty$ y $+\infty$.

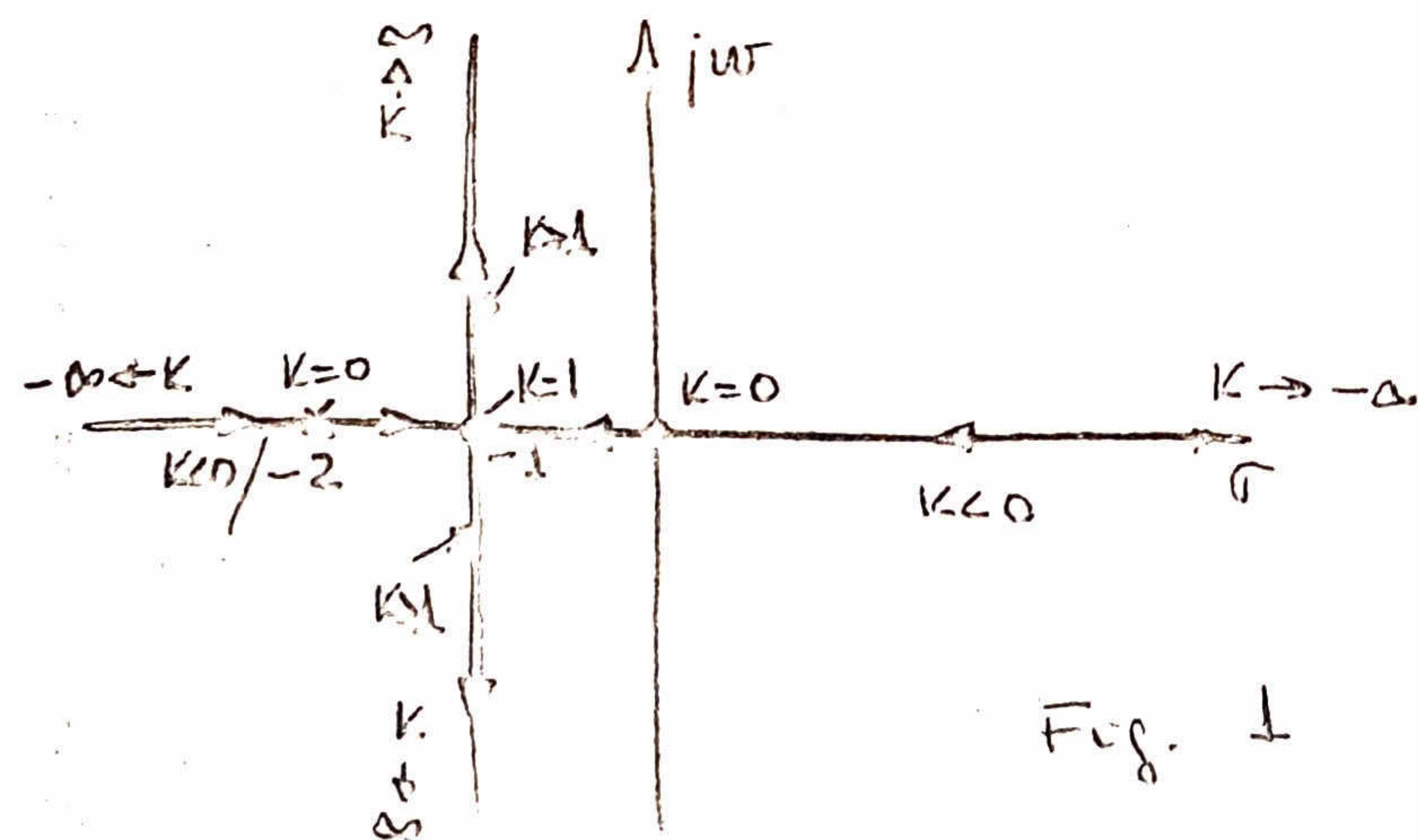


Fig. 1

De este lugar de los rangos obtenemos las siguientes informaciones acerca del comportamiento dinámico del sistema.

(1) Estabilidad:

El sistema en cada una cerrada es inestable para los valores de K negativos.

(2) Respuesta transitoria

(a) Para los valores de K comprendidos entre 0 y 1, el sistema es sobreamortiguado ($\zeta > 1$); para $1 < K < \infty$ el siste

3) ζ es infraamortiguado u oscilatorio ($\zeta < 1$). El amortiguamiento crítico ($\zeta = 1$) se tiene para $K = 1$.

(b) la frecuencia propia no amortiguada va aumentando con K .

(c) Para todos los valores de $K \geq 1$ el tiempo de respuesta a una entrada en escalón es constante, puesto que los polos reales de los dos raíces son fijos.

(d) Respuesta en frecuencia.

Para un valor dado de K , los raíces s_1 y s_2 de la ecuación característica se determinan sobre la fig 1 y la función de transferencia en cadena cerrada es:

$$\frac{C(s)}{R(s)} = \frac{K}{(s-s_1)(s-s_2)}$$

El diagrama de la figura 1 se conoce como el lugar de los raíces de la ecuación (3) cuando K es un parámetro variable. Esta técnica fue descubierta por Evans en 1948, del cual ha tomado el nombre.

En los problemas de los sistemas de control, el lugar de los raíces se define como el lugar geométrico de los polos de la función de transferencia en cadena cerrada (o raíces de la ecuación característica) cuando uno o varios parámetros de la función de transferencia en cadena abierta varían de $+\infty$ a $-\infty$. Cuando hay un solo parámetro variable como el K del ejemplo y K varía solamente entre 0 y $+\infty$ el diagrama se llama lugar de los raíces. Cuando K varía entre 0 y $-\infty$, el diagrama se denomina lugar inverso de los raíces. Cuando se considera más de un parámetro como variable, recibe el nombre de contorno de raíces.

1. Lugar de las raíces. Definición -

Consideremos un sistema realimentado cuya función de transferencia en cadena cerrada sea:

$$\frac{C(s)}{R(s)} = \frac{G(s)}{1 + G(s)H(s)} \quad (4)$$

Las raíces de la ecuación característica se determinan por

$$1 + G(s)H(s) = 0 \quad (5)$$

$$G(s)H(s) = -1 \quad (6)$$

que se verifica si se cumple que

$$|G(s)H(s)| = 1 \quad (7)$$

$$\angle G(s)H(s) = (2k+1)\pi \quad (8)$$

donde $k = 0, \pm 1, \pm 2, \dots$

$G(s)H(s)$ es una función de la forma:

$$G(s)H(s) = \frac{K(s+z_1)(s+z_2)\dots(s+z_m)}{(s+p_1)(s+p_2)\dots(s+p_n)} \quad (9)$$

Las dos condiciones dadas en (7) y (8) se convierten en:

$$|G(s)H(s)| = \frac{|K| \prod_{i=1}^m |s+z_i|}{\prod_{j=1}^n |s+p_j|} = 1 \quad (-\infty < K < \infty) \quad (10)$$

$$\angle G(s)H(s) = \angle K + \sum_{i=1}^m \angle(s+z_i) - \sum_{j=1}^n \angle(s+p_j) = (2k+1)\pi \quad (11)$$

Aquí pues, una rama del lugar de las raíces correspondiente al sistema de la ecuación (4) es un lugar geométrico de valores s del plano s , cuando k varía de 0 a $+\infty$.

En otras palabras, un punto s_1 del plano s es un punto del lugar de las raíces si satisface las siguientes condiciones

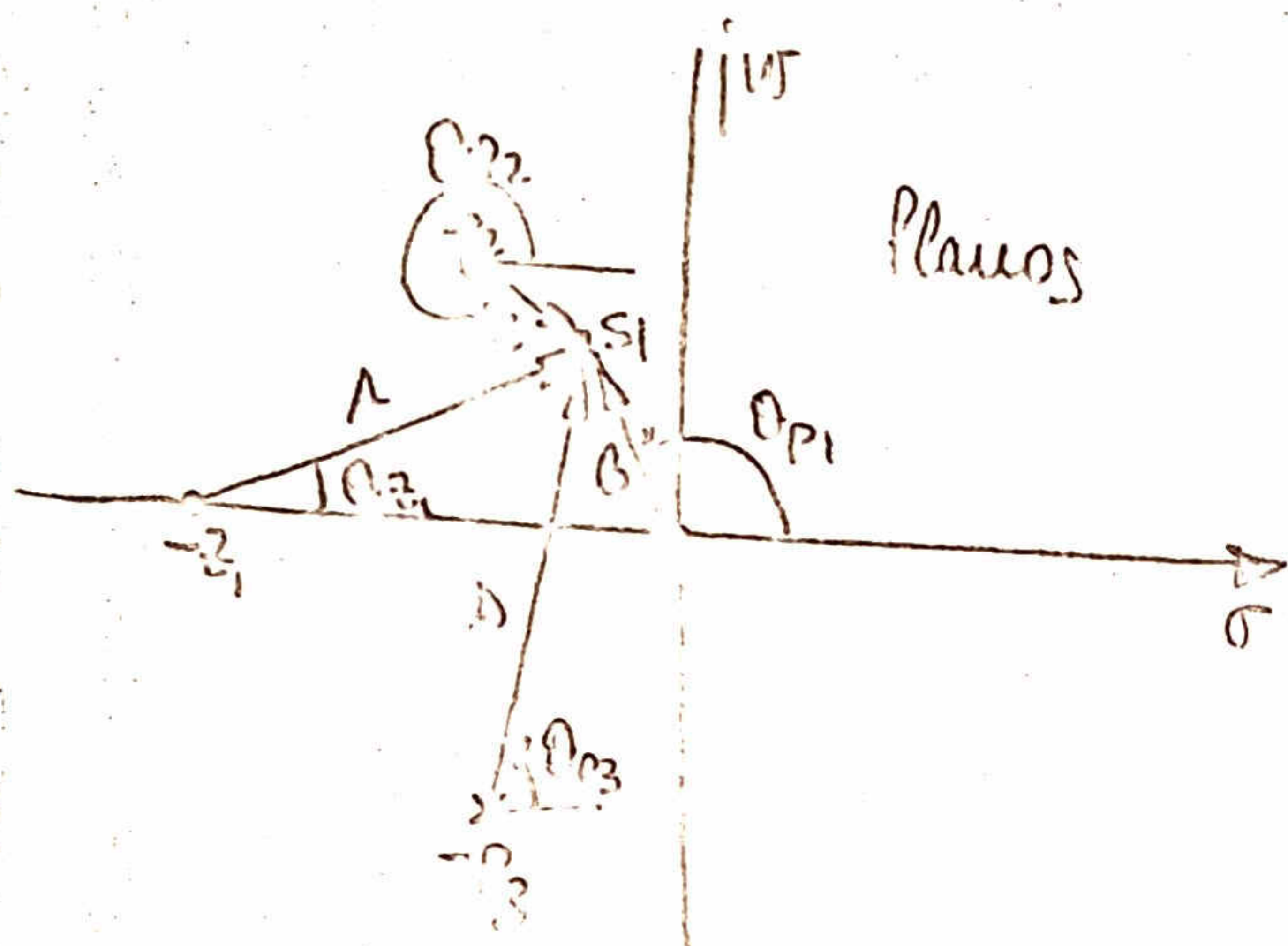
$$\frac{|K| \prod_{i=1}^m |s_1+z_i|}{\prod_{j=1}^n |s_1+p_j|} = 1 \quad |-\infty < K < \infty| \quad (12)$$

$$\angle \sum_{i=1}^m \angle(s_1+z_i) - \sum_{j=1}^n \angle(s_1+p_j) = (2k+1)\pi \quad (0 < K < \infty) \quad (13)$$

$$\sum_{i=1}^m \frac{1}{|s_i + z_i|} - \sum_{i=1}^{n+m} \frac{1}{|s_i + p_i|} = 2K_1 n \quad (-\infty < K < 0) \quad (14)$$

Por ejemplo, sea $n=1$, $m=2$, $K_1 = 0, \pm 1, \pm 2, \dots$

$$G(s)H(s) = \frac{K(s + z_1)}{s(s + p_2)(s + p_3)} \quad (15)$$



(Fig. 2)

Supongamos que los polos y ceros de $G(s)H(s)$ están situados como indica la fig. 2. Sea s_1 un punto cualquiera del plano s y dibujemos los vectores dirigidos desde los polos y ceros de $G(s)H(s)$ al punto s_1 . Si s_1 es un punto del lugar de los raíces ($0 < K < \infty$) del sistema en cada una cerrada, debe satisfacer las dos condiciones

$$\frac{|K| |s_1 + z_1|}{|s_1| |s_1 + p_2| |s_1 + p_3|} = 1 \quad (16)$$

$$\angle(s_1 + z_1) - (\angle s_1 + \angle(s_1 + p_2) + \angle(s_1 + p_3)) = (2K_1 + 1)\pi \quad (17)$$

Si s_1 es un punto del lugar inverso de los raíces, debe cumplirse la ecuación (16) y

$$\angle(s_1 + z_1) - (\angle s_1 + \angle(s_1 + p_2) + \angle(s_1 + p_3)) = 2K_1\pi \quad (18)$$

Los factores $|s_1 + z_1|$, $|s_1 + p_2|$, $|s_1 + p_3|$, $|s_1|$ son los módulos de los distintos vectores trazados entre s_1 y los distintos polos y ceros, representados en la fig. 2 por A, B, C y D, por lo que la ecuación 16 se transforma en:

$$\frac{A}{BCD} = \frac{1}{|K|} \quad (19)$$

Los ángulos $\theta_{z_1}, \theta_{p_1}, \theta_{p_2}, \theta_{p_3}$ son los argumentos de los vectores medidos a partir del eje real positivo. De las ecuaciones (17) y (18) se deduce que:

$$\theta_{z_1} - (\theta_{p_1} + \theta_{p_2} + \theta_{p_3}) = (2K+1)\pi \quad (0 < K < \infty) \quad (20)$$

$$\theta_{z_1} - (\theta_{p_1} + \theta_{p_2} + \theta_{p_3}) = 2K\pi \quad (-\infty < K < 0) \quad (21)$$

En consecuencia, dada la configuración de los polos y ceros de $G(s)H(s)$, la construcción del lugar de los raíces del sistema en cada rama implica los dos pasos siguientes:

- (1) la determinación de los puntos del plano s que satisfacen la condición dada por la ecuación (17).
- (2) la determinación del valor de K ($-K$) en cada punto s_i del plano s del lugar de los raíces (lugar inverso de los raíces) mediante la relación dada por la ecuación (16).

En el próximo apartado se indicarán algunos métodos prácticos para la determinación de estos lugares de los raíces.

2. Construcción del lugar de los raíces.

Los siguientes reglas de construcción se deducen de la relación entre polos y los ceros de $G(s)H(s)$ y los raíces de la ecuación característica. Estas reglas deben considerarse solamente como ayuda a la construcción del lugar de los raíces; no dan el lugar exacto.

- (1) Puntos de origen del lugar de los raíces ($K=0$)
Los puntos de origen del lugar de los raíces ($K=0$) son los polos de $G(s)H(s)$.

Demostración: La ec. (10) puede escribirse

$$\frac{\prod_{i=1}^m |s+z_i|}{\prod_{j=1}^n |s+p_j|} = \frac{1}{|K|} \quad (22)$$

Cuando K tiende a cero, el valor de la Ec.(22) tiende a infinito y, por lo tanto s tiende hacia los polos de $G(s)H(s)$; es decir $s \rightarrow p_i$. Es evidente que esta propiedad se aplica por igual al lugar de los raíces y al lugar inverso de los raíces.

(2) Puntos terminales del lugar de los raíces ($K = \pm \infty$)
 Los puntos terminales del lugar de los raíces son los ceros de $G(s)H(s)$.

Demostración: Considerando de nuevo la Ec.(22), cuando $K \rightarrow \pm \infty$, la ecuación tiende a cero, lo que implica que s tiende hacia los ceros de $G(s)H(s)$.

(3) Número de ramas separadas.

Sea $N =$ número de ramas separadas

$Z =$ " " ceros finitos de $G(s)H(s)$

$P =$ " " polos " " " "

Entonces

$N = Z$ si $Z > P$

$N = P$ si $P > Z$

Puesto que las ramas del lugar de los raíces deben iniciarse en un polo y terminar en un cero de $G(s)H(s)$, el lugar de los raíces tendrá tantas ramas como el mayor valor de Z y P .

(4) Simetría del lugar de los raíces

El lugar de los raíces y el lugar inverso de los raíces son simétricos respecto al eje real del plano s .

La demostración de esta propiedad es trivial, puesto que los raíces complejos de las funciones racionales deben aparecer en forma de pares de raíces complejas.

(5) Asíntotas del lugar de los raíces.

Para valores elevados de S , el lugar de los raíces es asintótico a líneas rectas cuyos ángulos con la parte positiva del eje real son

$$\theta_{k_1} = \frac{(2k_1 + 1)\pi}{P - Z} \quad (23)$$

donde $k_1 = 0, 1, 2, \dots$ hasta $k_1 = P - Z$ (exclusive)

Para el lugar inverso de los raíces

$$\theta_{k_1} = \frac{2k_1\pi}{P - Z} \quad (24)$$

donde $k_1 = 0, 1, 2, \dots$ hasta $k_1 = P - Z$ (exclusive)

Las propiedades de las asíntotas del lugar de los raíces en el infinito son importantes, puesto que cuando $P \neq Z$, $P - Z$ del lugar tenderá a infinito en el plano S cuando S crezca indefinidamente.

(6) Intersección de las asíntotas (centroide)

(a) La intersección de los $n = P - Z$ asíntotas tiene lugar solamente en el eje real.

(b) La intersección de las asíntotas (centroide) en el eje real viene dada por:

$$\sigma_1 = - \left(\frac{\sum b_i - \sum a_i}{n} \right) = \frac{\sum \text{polos de } G(s)H(s) - \sum \text{ceros de } G(s)H(s)}{P - Z} \quad (25)$$

(7) Lugar de los raíces en el eje real.

Lugar de los raíces (K positiva): Un punto del eje real puede pertenecer al lugar de los raíces sólo si el número total de polos y ceros de $G(s)H(s)$ situados a su derecha es impar.

Lugar inverso de los raíces (K negativa): Un punto del eje real puede pertenecer al lugar inverso de los raíces sólo si el número total de polos y ceros de $G(s)H(s)$ situados a su derecha es par.

(8) Ángulos de salida (de los polos) y ángulos de llegada (a los ceros) del lugar de las raíces).

El ángulo de salida del lugar de las raíces (positiva) de un polo (o el ángulo de llegada a un cero) de $G(s)H(s)$ puede determinarse suponiendo un punto s_1 muy próximo al polo (o cero), que pertenece a la rama asociada al polo (o cero) y aplicando la siguiente ecuación

$$\angle G(s_1)H(s_1) = \sum_{i=1}^m \angle (s_1 + z_i) - \sum_{j=1}^n \angle (s_1 + p_j) = (2K+1)\pi \quad (26)$$

Una vez calculado el ángulo del lugar de las raíces en el polo o cero, el ángulo del lugar inverso de las raíces en el mismo punto difiere del calculado en 180° .

(9) Intersección del lugar de las raíces con el eje imaginario.

Los puntos en que el lugar de las raíces y el lugar inverso de las raíces cortan al eje imaginario del plano s y los correspondientes valores de K se obtienen normalmente por aplicación del criterio de Routh - Hurwitz.

(10) Puntos de separación (Puntos en silla de montar) del eje real del lugar de las raíces.

Los puntos del lugar de las raíces (y del inverso) correspondientes a raíces múltiples de la ecuación característica se denominan puntos de separación o puntos de silla de montar del lugar de las raíces.

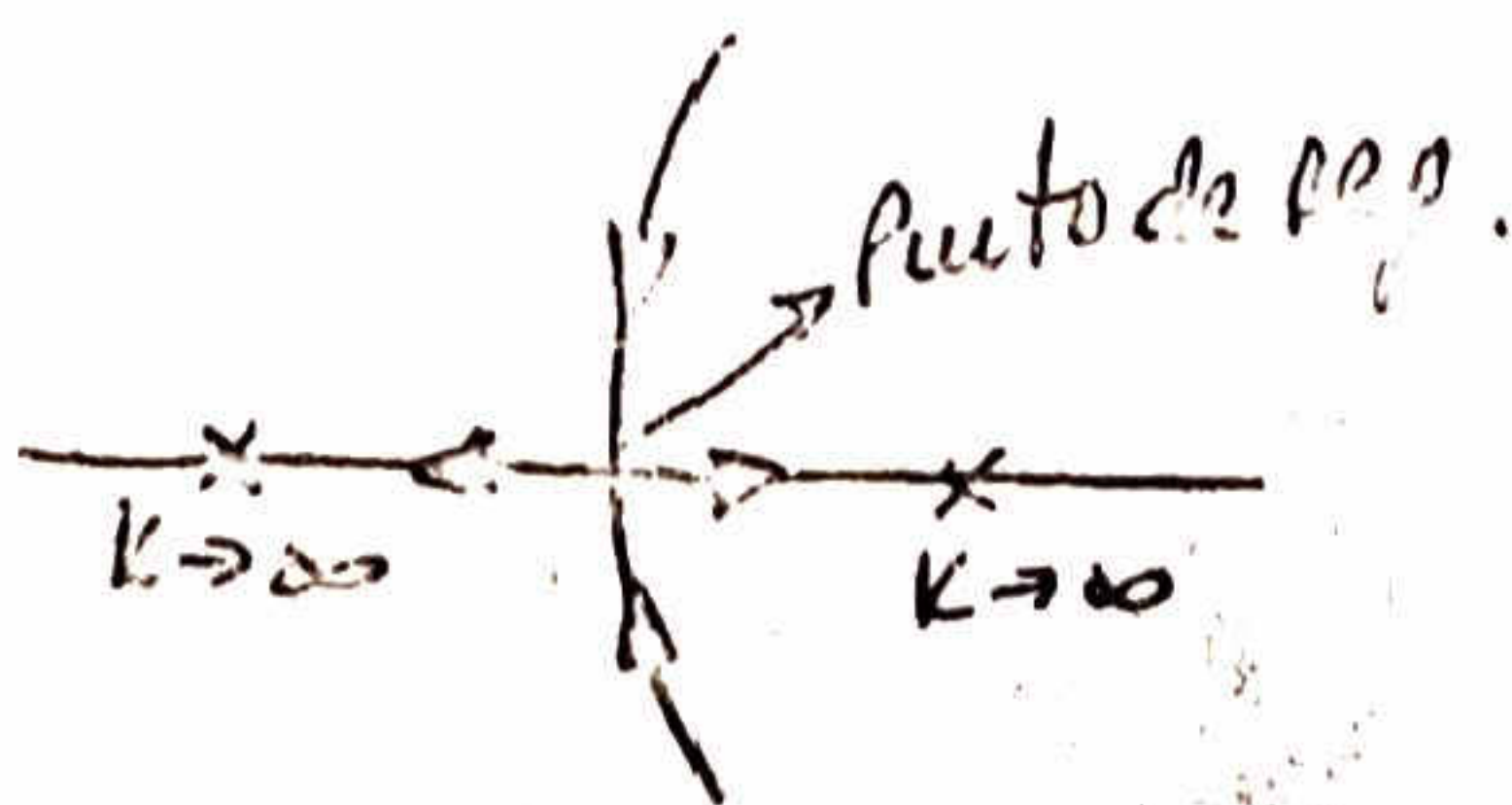
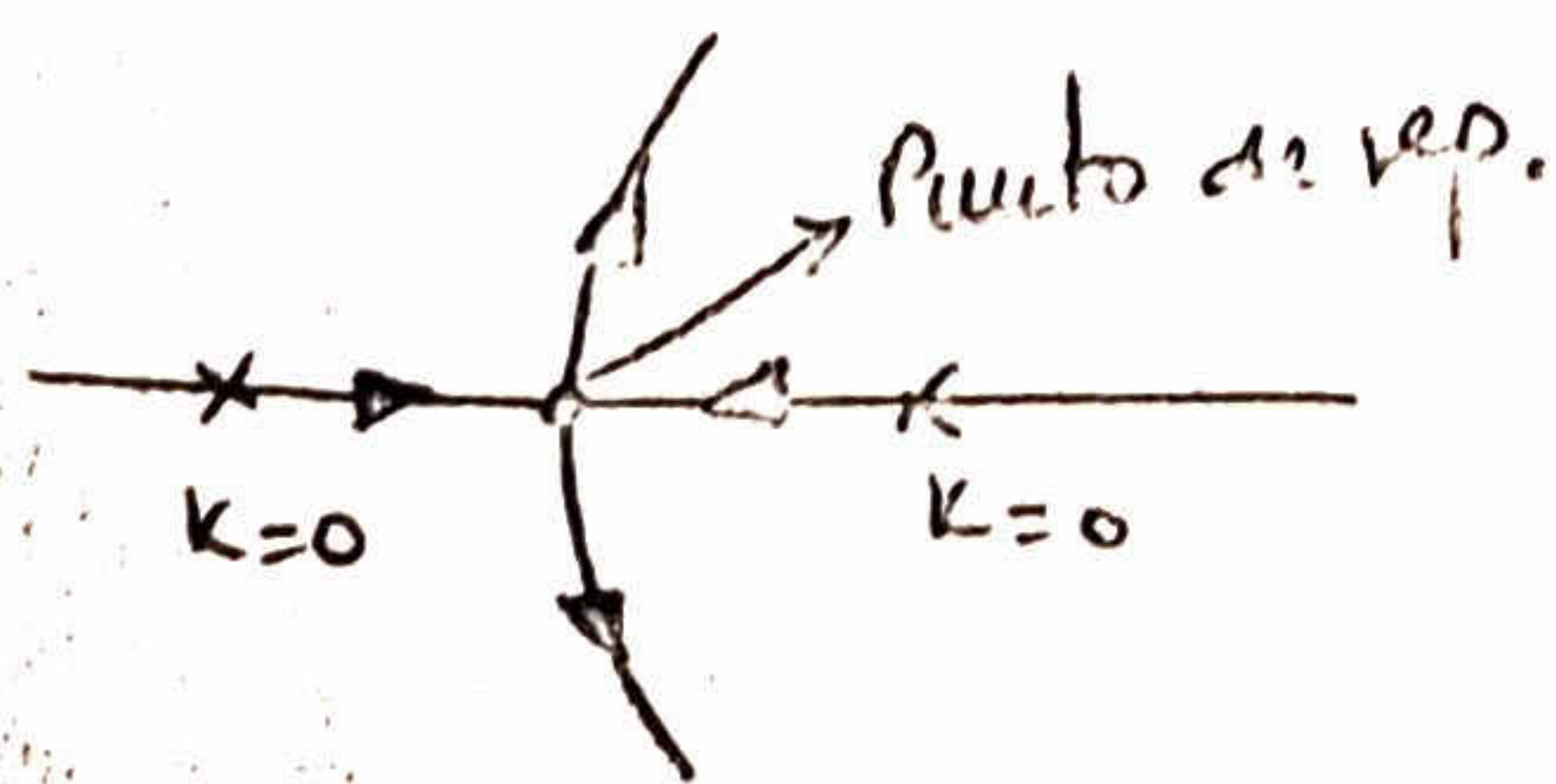


Fig 3.

ii

En la fig 3 se indican dos puntos de separación.

En un punto de separación pueden concurrir más de dos ramas del lugar de los raíces.

Los ramos del lugar de los raíces (o de su inverso) deben llegar y salir de un punto de separación sobre el eje real formando ángulos de $180^\circ/n$, donde n es el número de ramos que llegan y salen de dicho punto. La misma regla es válida para los puntos de separación complejos.

Los puntos de separación del lugar de los raíces se determinan buscando los raíces de $dK/ds = 0$, o $dG(s)H(s)/ds = 0$ (condición necesaria solamente). Otra posibilidad para determinar los puntos de separación del lugar de los raíces (para todos los valores de K) es mediante la tabla del punto de separación utilizando los coeficientes de la ecuación característica $F(s) = 0$ y $F'(s) = 0$ (necesaria y suficiente).

(11) Cálculo del valor de K en el lugar de los raíces.

El valor absoluto de K en cualquier punto s_1 del lugar de los raíces o del lugar inverso se determina mediante la siguiente ecuación:

$$|K| = \frac{1}{|G(s_1)H(s_1)|} = \frac{\text{producto de las longitudes de todos los vectores trazados desde los polos de } G(s)H(s) \text{ a } s_1}{\text{producto de las longitudes de todos los vectores trazados desde los ceros de } G(s)H(s) \text{ a } s_1} \quad (27)$$

3.- Ejemplo de construcción del lugar de raíces.

Como aplicación de todos los reglas enunciadas, supongamos que debemos trazar el lugar de los raíces de un sistema cuya función de transferencia en cadena abierta viene dada por

$$G(s)H(s) = \frac{K(s+3)}{s(s+5)(s+6)(s^2+2s+2)} \quad (28)$$

El lugar de los raíces ($-\infty < K < \infty$) del sistema puede construirse por aplicación de las reglas:

- (1) los puntos del origen ($K=0$) del lugar son $s=0, -5, -6, -1 \pm j$ que son los polos de $G(s)H(s)$
- (2) los puntos terminales ($K=\pm\infty$) del lugar son $s = -3, \infty, \infty, \infty, \infty$ que son los ceros de $G(s)H(s)$.
- (3) Hay cinco ramas separadas del lugar de los raíces.
- (4) El lugar de los raíces es simétrico respecto al eje real
- (5) los ángulos de las asíntotas del lugar de los raíces son

$$\theta_{K_1} = \frac{(2K_1+1)\pi}{P-Z}$$

y los del lugar inverso

$$\theta_{K_1} = \frac{2K_1\pi}{P-Z}$$

donde $K_1 = 0, 1, 2, \dots, (P-Z)(exclusive)$, por tanto;

$$P-Z = 5-1=4 \quad y \quad K_1 = 0, 1, 2, 3$$

Por lo tanto las cuatro ramas del lugar que tienden a infinito para $K \rightarrow \infty$ deben hacerlo con ángulos de $45^\circ, -45^\circ, 135^\circ, -135^\circ$, respectivamente. Los ángulos de las asíntotas del lugar inverso de los raíces cuando $K \rightarrow -\infty$ son $0^\circ, 90^\circ, 180^\circ, 270^\circ$ respectivamente.

- (6) La intersección de las asíntotas (centroide) viene dada por

$$\sigma_1 = \frac{\sum \text{polos de } G(s)H(s) - \sum \text{ceros de } G(s)H(s)}{P-Z} = \frac{(0-5-6-1+j-1-j) - (-3)}{4} = -2,5$$

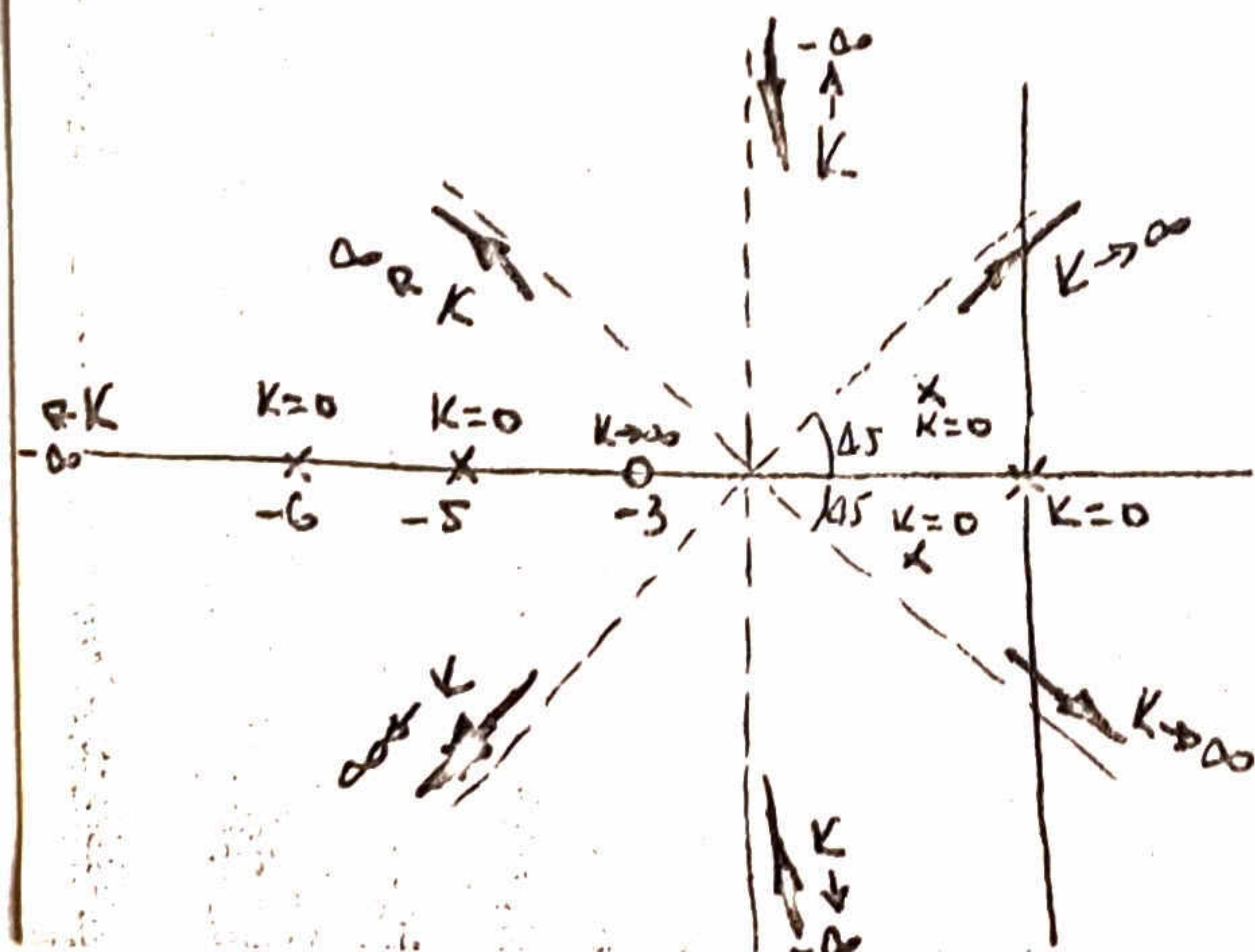
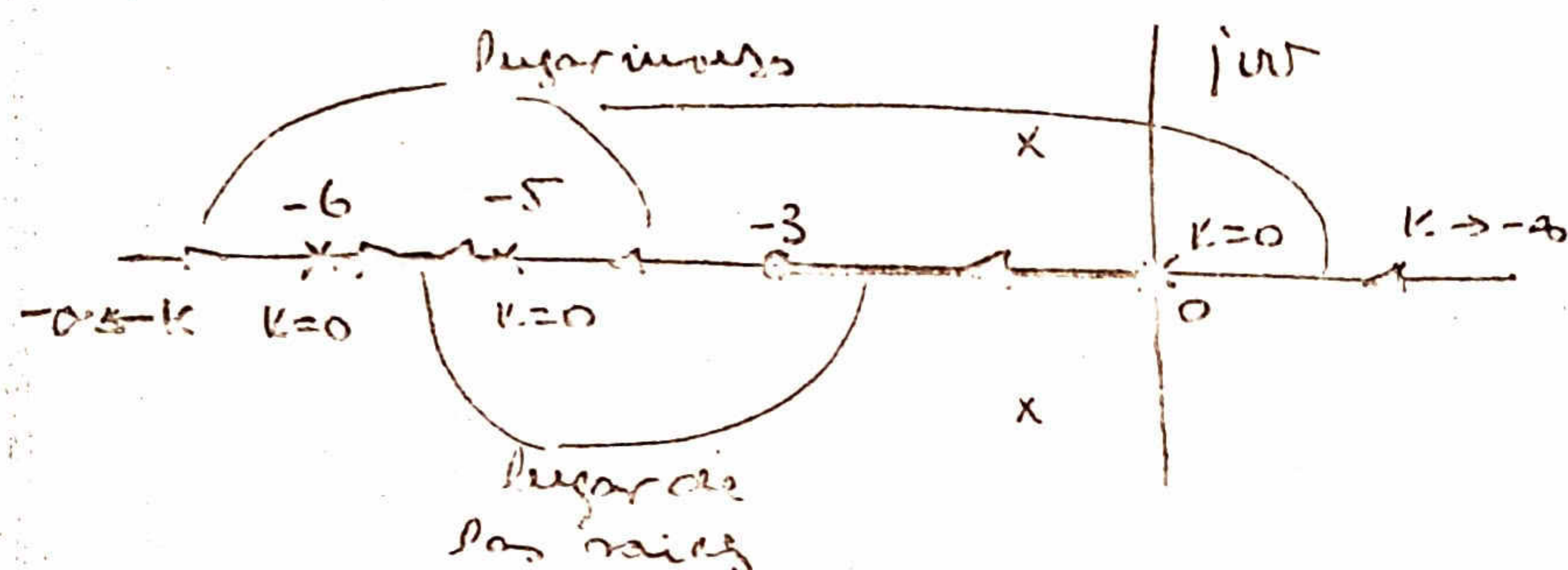


Fig 4

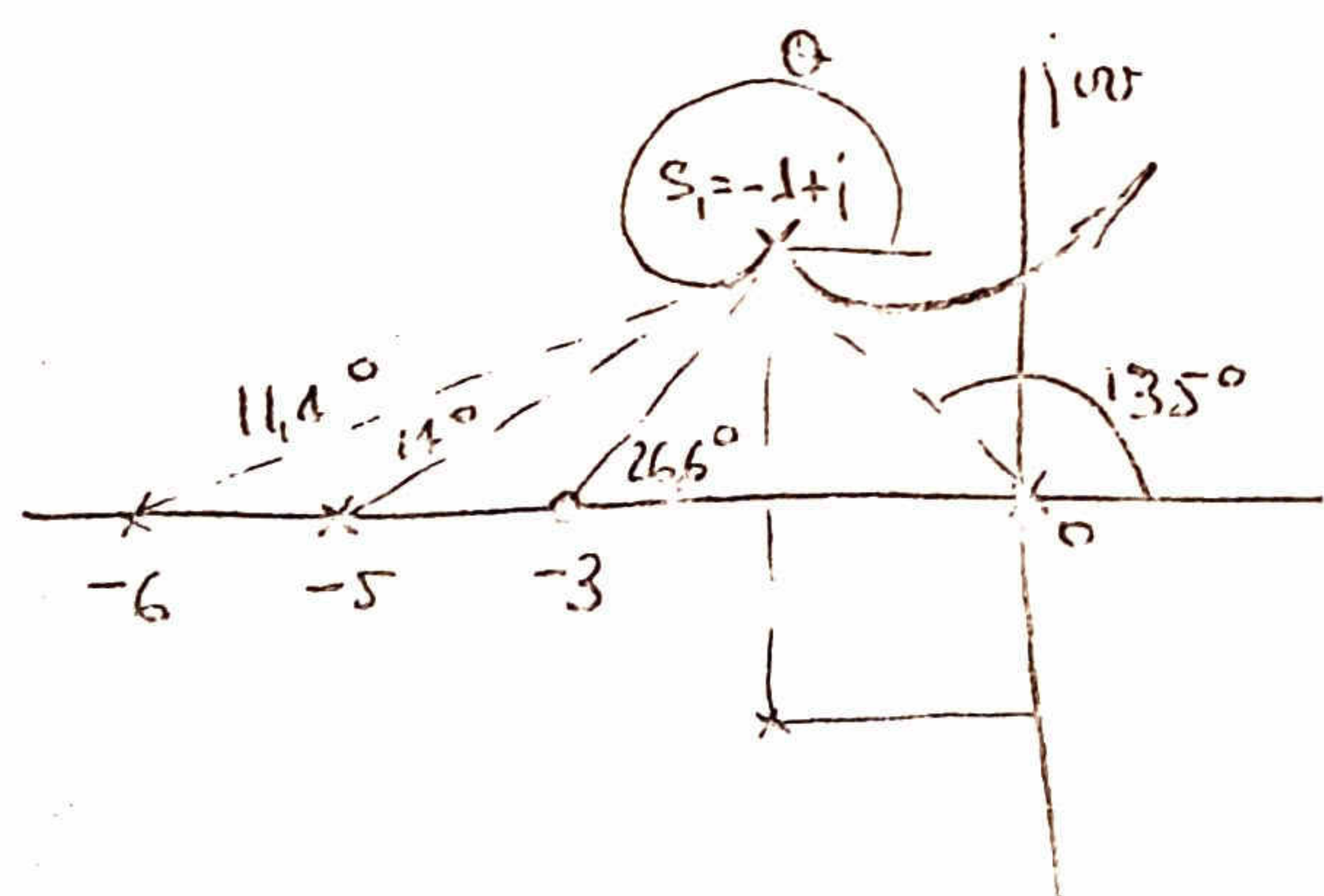
Los resultados obtenidos en estos dos últimos pasos están indicados en la figura 4.

(7) Lugar de las raíces sobre el eje real: Hay lugar de las raíces ($0 < K < \infty$) sobre el eje real entre $s=0$ y $s=-3$, $s=-5$ y $s=-6$; hay lugar inverso de las raíces ($0 > K > -\infty$) entre $s=-3$ y $s=-5$ y entre $s=-6$ y $s=-\infty$. (Fig 5)



(Fig 5)

(8) Ángulos de salida - El ángulo de salida, θ , del lugar de las raíces al salir del polo $-1+j$ se determina mediante la ecuación 1.1. Por consiguiente



(Fig 6)

$$26,6^\circ - (135^\circ + 90^\circ + 14^\circ + 11,4^\circ + \theta) = (2K+1)\pi \Rightarrow \theta = -43,8^\circ$$

(Ver fig 6)

$$\begin{matrix} \uparrow & \uparrow & \uparrow & \uparrow & \uparrow & \uparrow \\ s+3 & s & s+1-j & s+5 & s+6 & s+1+j \end{matrix}$$

(9) Intersección del lugar de las raíces con el eje imaginario.

Se determina mediante el criterio de Routh.

La ecuación característica del sistema es:

$$s^5 + 13s^4 + 54s^3 + 82s^2 + (60+K)s + 3K = 0 \quad (29)$$

La tabla de Routh es

| | | | |
|-------|--|-------------|--------|
| s^5 | 1 | 54 | $60+k$ |
| s^4 | 13 | 82 | $3k$ |
| s^3 | $17,2$ | $60+0,769k$ | 0 |
| s^2 | $65,6-0,212k$ | $3k$ | 0 |
| s^1 | $\frac{3940-105k-0,163k^2}{65,6-0,212k}$ | 0 | 0 |
| s^0 | $3k$ | 0 | 0 |

Para un sistema estable se debe verificar

$$(a) \quad 65,6 - 0,212k > 0 \Rightarrow k < 309 \quad (30)$$

$$(b) \quad 3940 - 105k - 0,163k^2 > 0 \Rightarrow k < 35 \text{ (raíz pos.)} \quad (31)$$

$$(c) \quad k > 0$$

Así pues, el sistema es estable para $0 < k < 35$, y el valor de k cuando el lugar de los polos corta el eje imaginario es 35. La frecuencia de la intersección se determina mediante la ecuación auxiliar

$$\Lambda(s) = (65,6 - 0,212k)s^2 + 3k = 0 \quad k=35, \text{ por lo que}$$

$$58,2s^2 + 105 = 0 \Rightarrow s = \pm j1,35$$

(10) Puntos de separación. El punto de los puntos de separación se obtienen aplicando la ecuación:

$$\frac{d[G(s)H(s)]}{ds} = 0$$

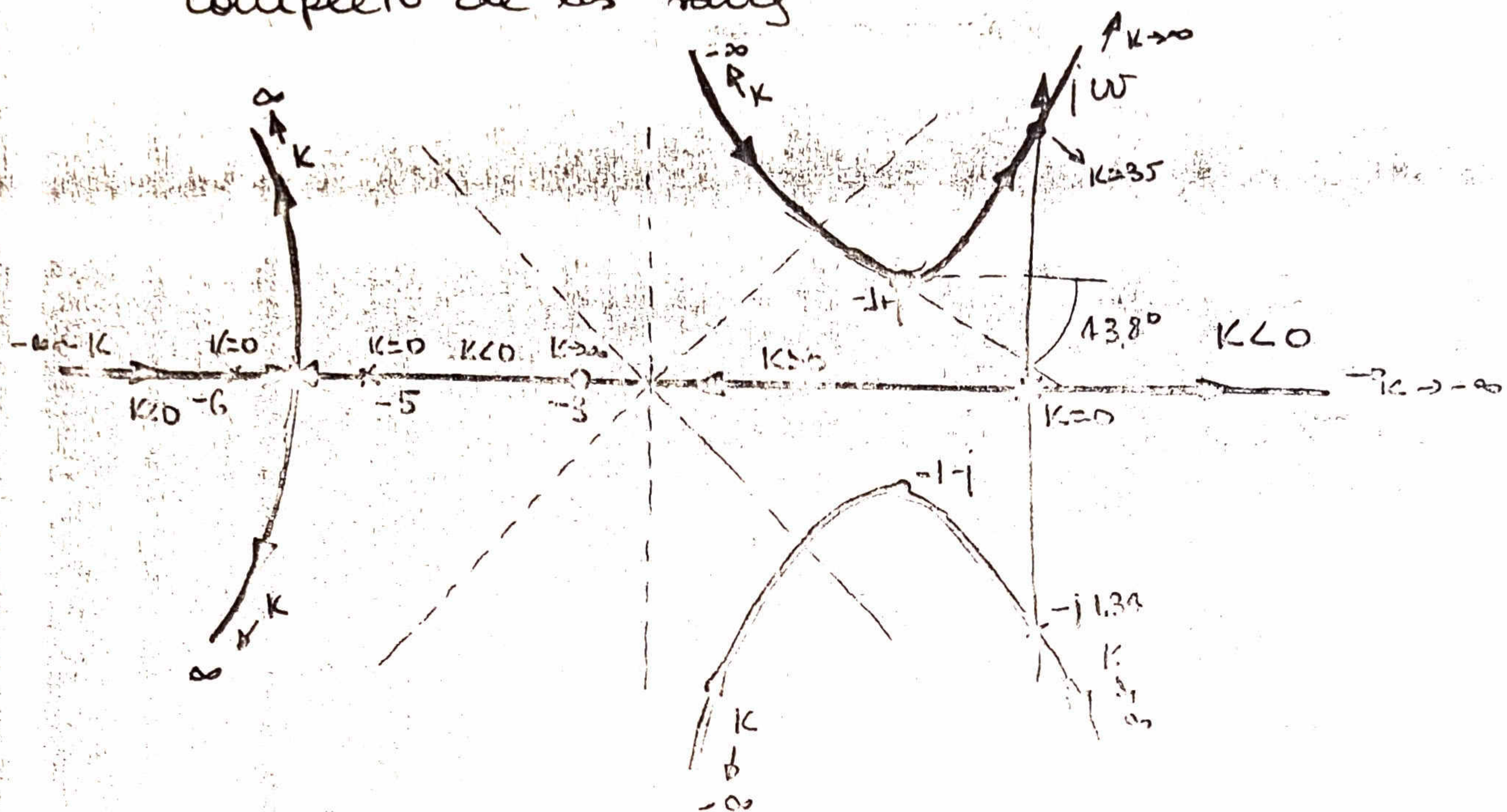
En el ejemplo que contemplamos, ello quiere decir que

$$s^5 + 13,5s^4 + 66s^3 + 142s^2 + 123s + 45 = 0 \Rightarrow s = -5,52$$

Por lo tanto hay un punto de separación y es precisamente el número.

La información obtenida en los dos pasos precedentes nos permite trazar en la fig. 7 el lugar...

completo de los raiz



Este tema debe completarse con la lectura de los apartados 7-11, 7-12 y 7-13 del D'Azzo-Houpj.